

**ЭЛЕКТРООПТИЧЕСКИЙ ЭФФЕКТ  
В НЕМАТИЧЕСКОМ ЖИДКОМ КРИСТАЛЛЕ,  
ИНДУЦИРОВАННЫЙ ПОВЕРХНОСТНОЙ ПОЛЯРИЗАЦИЕЙ**

*О. Д. Лаврентович, В. М. Пергаменинчик, В. В. Серган*

Внешнее электрическое поле  $E$ , приложенное к нематическому жидкому кристаллу (НЖК), способно вызывать искажения директора  $\bar{n}$ , тем самым меняя оптические свойства НЖК. Хорошо изучены ситуации, когда эффект обусловлен диэлектрическим, электро-

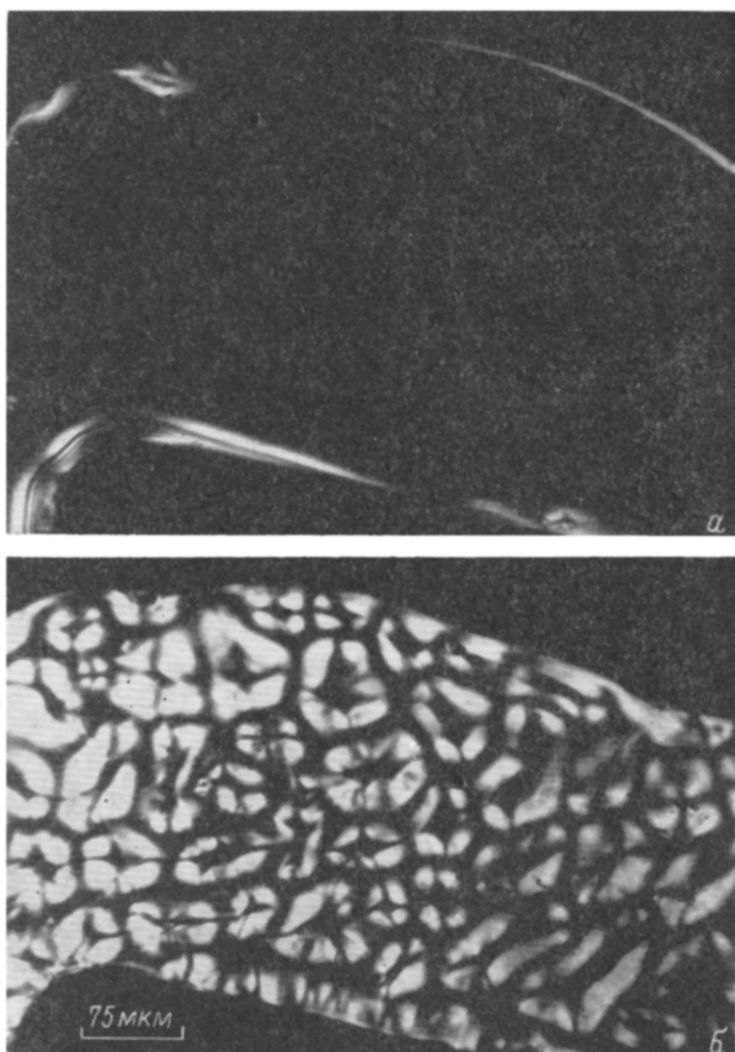


Рис. 1. Микрофотография текстуры 5ЦБ в *A*-ячейке при подаче постоянного электрического поля ( $U=4$  В). Фокусировка на нижней поверхности слоя НЖК (у анода).

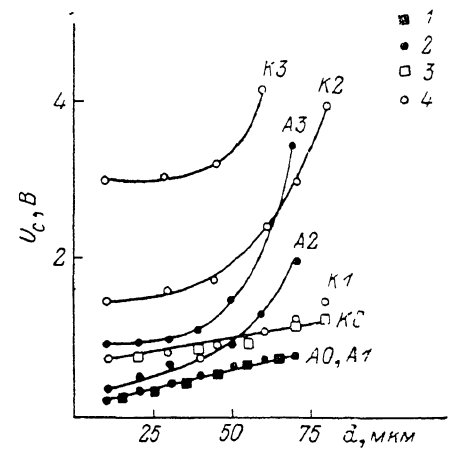
гидродинамическим или флексоэлектрическим механизмами [1]. Существуют предположения, что электрооптические эффекты могут возникать и за счет поверхностной поляризации НЖК, вызванной несимметричной ориентацией молекул ( $n \neq -n$ ) на границе НЖК [ $2^{-4}$ ], однако выделить их на фоне других не удавалось. О наблюдении такого эффекта, непосредственно

доказывающего существование поверхностной поляризации, и сообщается в настоящей работе.

Исследовались гомеотропно ориентированные слои пентилцианобифенила (5ЦБ,  $C_5H_{11}(C_6H_4)_2CN$ ) с большой анизотропией диэлектрической проницаемости  $\Delta\epsilon > 0$ . Внешнее электрическое поле совпадало по направлению с исходной ориентацией  $n$ , что позволило исключить дестабилизирующее влияние диэлектрического и большинства электрогидродинамических эффектов. Основная трудность заключалась в разделении флексоэлектрического и поверхностного поляризационного механизмов, поскольку оба они в описываемой геометрии могут вызывать отклонения  $n$  у электродов [4]. Для этого использовались ячейки двух типов ( $A$  и  $K$ ), отличающиеся характером ориентирующих покрытий, и как следствие, типом поверхностной поляризации. В  $A$ -ячейках прозрачные электроды ( $SnO_2$ ) покрывались слоем силиконового эластомера  $(CH_3)_3Si[(CH_3)_2SiO]_nSi(CH_3)_3$ ,  $n=25\ 000$ , который гидрофилен и задает преимущественную ориентацию полярных групп  $C\equiv N$  молекул 5ЦБ по направлению к подложке. В  $K$ -ячейках дополнительно наносился слой лепитина, молекулы которого диффильны и, прикрепляясь полярной частью к эластомеру, задают противоположную ориентацию 5ЦБ (см., например, [3]). Две описанные возможности ориентации дипольных моментов ( $\mu=4.3D$ ) [5] приводят к двум типам поляриза-

Рис. 2. Зависимость порогового напряжения  $U_c$ , вызывающего просветление ячейки от ее толщины  $d$  и частоты приложенного поля.

1, 2 — данные для  $A$ -ячеек (постоянное и переменное поля соответственно); 3, 4 — для  $K$ -ячеек.  $f$ , Гц: 0 — 0, 1 — 0.1, 2 — 1, 3 — 2.



ции поверхностных слоев НЖК. Ячейки толщиной  $d=10-100$  мкм исследовалась с помощью поляризационного микроскопа при комнатной температуре.

В отсутствие внешнего поля пропускание света через ячейку практически отсутствует, поскольку  $n$  направлен вдоль оптической оси микроскопа. При подаче вертикального электрического поля, постоянного или низкочастотного переменного, ячейка просветлялась, а в текстуре возникали домены (рис. 1). В обоих типах ячеек эффект обнаруживал сходные особенности и возникал при напряжениях  $U$ , больших некоторого порогового  $U_c \sim 1$  В (рис. 2), причем при  $U \geq U_c$  домены представляли собой серые пятна, подобные описанным в [4], а при  $U \approx (2-3) U_c$  проявлялись как четко выраженные округлые образования, геометрия которых показана на рис. 3, а, б. Просветление ячейки, растущее с  $U$  вплоть до  $U \sim 10$  В, обусловлено увеличивающимся отклонениями  $n$  от вертикали вблизи одной из границ слоя НЖК на угол от 0 до  $10^\circ$ . Как удалось выяснить при помощи перефокусировок микроскопа, изменения полярности поля и сдвига стекол ячеек относительно друг друга, искажения локализованы вблизи анода в  $A$ -ячейках и вблизи катода в  $K$ -ячейках. Эта особенность играет ключевую роль в выяснении природы эффекта. Если явления в  $A$ -ячейках при  $U \geq U_c$  аналогичны описанным в [4] и могут быть качественно (но не количественно) описаны флексоэлектрическим эффектом, то неустойчивость  $K$ -типа ранее описана не была и не может вызываться флексонеустойчивостью. Рассмотрим этот вопрос подробнее.

Флексополяризация  $P_f = e_1 n \operatorname{div} n + e_3 \operatorname{rot} n \times n$  ( $e_1, e_3$  — флексокоэффициенты) приводит к вкладу вида  $(-P_f E)$  в плотность свободной энергии НЖК [4]. Если  $E$  направлено вертикально, а  $e = e_1 + e_3 > 0$ , что выполняется для 5ЦБ [6], то энергия системы понижается за счет отклонений  $n$  вблизи анода (рис. 3, а). Это могло бы качественно объяснить эффект в  $A$ -ячейке, если бы не то обстоятельство, что для возникновения флексонеустойчивости необходимо подавление диэлектрического момента, стабилизирующего гомеотропную ориентацию  $n$ , и выполнение условия [4]  $4\pi e^2 > \Delta\epsilon K_{33}$ , где  $K_{33}$  — модуль продольного изгиба. Для 5ЦБ это условие заведомо не выполняется, поскольку  $e=1.5 \cdot 10^{-4}$  дин $^{1/2}$  [6],  $\Delta\epsilon=14.2$ ,  $K_{33}=9.8 \cdot 10^{-7}$  дин [7]. Что касается  $K$ -неустойчивости, то флексополяризация при  $e > 0$  может лишь препятствовать ее возникновению, как видно из рис. 3, б.

Экспериментальные данные получают объяснение, если учсть поверхностную поляризацию  $P_s$  НЖК, вносящую вклад  $(-P_s E)$ , аналогичный флексоэлектрическому. Поскольку

направления  $P_s$  в  $A$ - и  $K$ -ячейках различны, то при достаточно больших  $|P_s|$  следует ожидать анодной неустойчивости в  $A$ -ячейке и катодной в  $K$ -ячейке (рис. 3, а, б). В последнем случае дестабилизирующий момент может вызываться лишь поверхностной поляризацией; флексоэлектрический и диэлектрический моменты играют стабилизирующую роль. Количественно величину  $|P_s|$  можно определить, используя выражение

$$(s \pm |P_s|)^2 = a^2 + Wda \left( \frac{Wd}{U_c \alpha} + 2 \operatorname{cth} \frac{U_c \alpha}{K_{33}} \right) / U_c, \quad (1)$$

следующее из теории [8] и учитывающее конечность энергии сцепления  $W$  НЖК с подложкой. Здесь  $a^2 = \Delta_e K_{33}/4\pi$ , знак „+“ выбирается для  $A$ -ячейки, а „-“ — для  $K$ -ячейки. Значение  $W$  определялось двумя независимыми методиками [9, 10]  $W_A = 2 \cdot 10^{-3}$  дин/см,  $W_K = 5 \cdot 10^{-3}$  дин/см. Подставляя в (1) также  $U_{cA} = 0.7$  В,  $U_{cK} = 1.1$  В,  $d = 60$  мкм, находим  $|P_{sA}| = 6 \cdot 10^{-3}$  дин $^{1/2}$ ,  $|P_{sK}| = 4.6 \cdot 10^{-3}$  дин $^{1/2}$ .

Полученные значения являются оценками сверху, так как не учитывалась возможная неоднородность поля вдоль толщины ячейки, обусловленная двойными электрическими

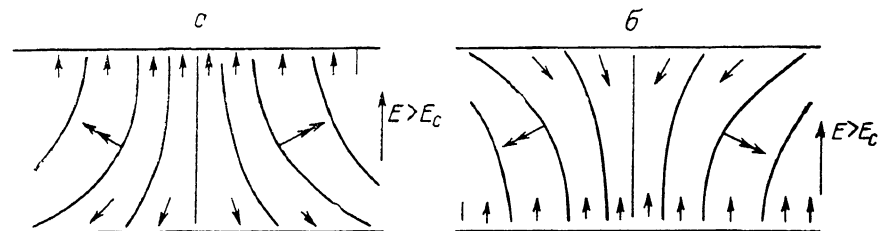


Рис. 3. Геометрия ориентационных нестабильностей слоя НЖК: искажения  $\pi$  во внешнем электрическом поле  $E$  вблизи анода в  $A$ -ячейках (а) и вблизи катода в  $K$ -ячейках (б).

Стрелками с удвоенными остриями обозначена флексоэлектрическая поляризация.

слоями. Последние, не влияя на существование механизмов, способны приводить к эффективному росту поля вблизи электродов. В пределе  $U_c/d \rightarrow \infty$  второе слагаемое в (1) обращается в нуль и, следовательно, нижние пределы  $|P_s|$  можно оценить как  $|P_{sA}| = 0.9 \cdot 10^{-3}$  дин $^{1/2}$ ,  $|P_{sK}| = 1.2 \cdot 10^{-3}$  дин $^{1/2}$ .

Уместно сравнить полученные значения  $|P_s|$  с максимально возможным  $|P_{s\max}|$ . В предположении, что диполи молекул 5ЦБ ориентированы в приграничном слое толщиной  $\xi$  единообразно, имеем  $P_{s\max} = \xi N \mu$ , где  $N$  — молекулярная плотность 5ЦБ. Поскольку  $\xi \sim 70$  Å [9],  $N = 2.5 \cdot 10^{21}$  см $^{-3}$ , то  $P_{s\max} = 7 \cdot 10^{-3}$  дин $^{1/2}$ , т. е.  $|P_{s\max}| > |P_{sA}|$ ,  $|P_{sK}|$ , как и следовало ожидать.

Как видно из формулы (1), зависимость  $U_c(d)$  для наблюдаемого поляризационного эффекта должна быть практически линейной, что и наблюдается при малых частотах поля  $f$  (рис. 2, зависимости  $A0$ ,  $A1$ ,  $K0$ ,  $K1$ ). При достижении некоторой критической частоты  $f = f_N$ , которую можно оценить как [4]  $f_N = (\pi K_{33})/(8d^2 \eta)$ ,  $\eta$  — вязкость 5ЦБ ( $\sim 0.1$  П), отклонения директора, достаточные для проявления заметного оптического отклика системы, не успевают развиться. Вследствие этого эффективное значение  $U_c$ , измеряемое в момент просветления ячейки, оказывается завышенным. Это и объясняет отклонение зависимости  $U_c(d)$  от линейной (кривые  $A2$ ,  $A3$ ,  $K2$ ,  $K3$  на рис. 2).

Авторы признательны Т. Я. Марусий и Ю. А. Резникову за измерение  $W$  методом [10].

#### Список литературы

- [1] Блинов Л. М. Электро- и магнитооптика жидкких кристаллов. М.: Наука, 1978. 384 с.
- [2] Чуевыров А. Н., Сонин А. С., Закирова А. Д. // ФТТ. 1976. Т. 18. Вып. 10. С. 3064—3088.
- [3] Petrov A. G., Derzhanski A. // Mol. Cryst. Liq. Cryst. Lett. 1977. Vol. 41. P. 41—46.
- [4] Monckade M., Martinot-Lagarde Ph., Durand G. // Europhys. Lett. 1986. Vol. 2. P. 299—305.
- [5] Dzovov I., Martinot-Lagarde Ph., Durand G. // J. Phys. Lett. 1983. Vol. 44. N 19. P. L365—L369.

- [6] Береснев А. А., Блинов Л. М., Давидян С. А. и др. // Письма в ЖЭТФ. 1987. Т. 45. Вып. 12. С. 592—594.
- [7] Bradshaw M. J., Raynes E. P., Bunning J. D., Faber T. H. // J. Phys. 1985. Vol. 46. P. 1513—1519.
- [8] Derzhanski A., Petrov A. G., Mitov M. D. // J. Phys. 1985. Vol. 39. P. 273—285.
- [9] Ryschenkov G., Kleman M. // J. Chem. Phys. 1976. Vol. 64. N 1. P. 404—412.
- [10] Марусий Т. А., Резников Ю. А., Решетняк В. Ю. и др. // ЖЭТФ. 1986. Т. 91. Вып. 9. С. 851—860.

Институт физики АН УССР  
Киев

Поступило в Редакцию  
2 августа 1988 г.  
В окончательной редакции  
22 февраля 1989 г.

01; 03

Журнал технической физики, т. 60, в. 1, 1990

© 1990 г.

## УДАРНОЕ ВСКИПАНИЕ ПЕРЕГРЕТОГО МЕТАЛЛА— НОВАЯ ПЕРКОЛЯЦИОННАЯ ЗАДАЧА

А. П. Байков, С. Л. Мушер, А. Ф. Шестак, И. А. Энтин

### Введение

Традиционные задачи теории перkolации, например задачи узлов и связей [1], имеют важную общую особенность, которая наглядно проявляется при моделировании этих задач на ЭВМ. Обычно для моделирования используют двух- или трехмерную сетку с пронумерованными узлами или связями. Узел (связь), чей номер выброшен датчиком случайных чисел, считается, например, включенным в сеть, т. е. элемент с бесконечным электрическим сопротивлением заменяется другим, сопротивление которого конечно. Следовательно, рассматривается задача случайного изъятия одних элементов сетки и замещения их другими. При этом общее число элементов («объем») сетки постоянно. Поскольку любая перkolационная задача является вероятностной, то число элементов сетки должно в идеале стремиться к бесконечности, а в крайнем случае быть очень большим по сравнению с единицей [1].

В предлагаемой работе рассмотрен эксперимент, для которого приближение постоянного суммарного числа элементов (т. е. постоянного объема) неприемлемо. Это — кипение перегретого металла: масса металла остается практически постоянной, а объем образца растет. Расчет зависимости электрического сопротивления образца от его объема — типичная перkolационная задача, поскольку удельные сопротивления металлов и их паров различаются на несколько порядков.

Объектом исследования служила металлическая проволочка, нагреваемая мощным импульсом тока до температуры  $T > T_k$ , где  $T_k$  — температура кипения. После быстрого отключения тока начиналось интенсивное объемное вскипание металла (при протекании тока вскипанию препятствует давление магнитного поля) и проволочка превращалась в двухфазную среду перегретый металл — пар. В процессе вскипания до начала интенсивного образования золя измерялись сопротивление проволочки и ее объем (скоростная рентгеновская фотосъемка). Этих данных достаточно для определения параметров теории перkolации.

### Эксперимент

Исследуемый образец — медная проволочка МП (диаметр 0.58 мм, длина 10 см) включалась в установку, электрическая схема которой показана на рис. 1. Установка состояла из  $LC_1$  — контура ( $C_1=8.1 \text{ мкФ}$ ,  $L=4.7 \text{ мГн}$ ) для нагрева проволочки и  $C_2R$  — контура ( $C_2=2.5 \text{ мкФ}$ ,  $R=200 \Omega$ ) для формирования зондирующего импульса тока малой амплитуды, необходимого для измерения сопротивления проволочки после отключения греющего тока. Образец нагревался в воздухе при атмосферном давлении. Зарядные напряжения конденсаторных батарей  $C_1$  и  $C_2$  28 и 20 кВ соответственно.